

ЛИТЕРАТУРА

1. Л. Д. Ландау. ЖЭТФ, 1944, 14, 6, 240.
2. Нестационарное распространение пламени. Под ред. Дж. Маркштейна. М., «Мир», 1968.
3. Я. Б. Зельдович. Теория горения и детонации газов. М., Изд-во АН СССР, 1944.
4. Г. И. Баренблatt, Я. Б. Зельдович, А. Г. Истратов. ПМТФ, 1962, 4, 21.
5. К. И. Щелкин, Я. К. Трошин. Газодинамика горения. М., Изд-во АН СССР, 1963.
6. А. Г. Истратов, В. Б. Либрович. ПМТФ, 1966, 1, 67.
7. Л. А. Гуссак, Е. Н. Спирипина, К. И. Щелкин. ФГВ, 1968, 4, 3, 358.
8. Я. Б. Зельдович, А. И. Розловский. Докл. АН СССР, 1947, 57, 4, 365.
9. Х. А. Ракипова, Я. К. Трошин, К. И. Щелкин. ЖТФ, 1947, 17, 12.
10. Я. К. Трошин, К. И. Щелкин. Изв. АН СССР, ОТН, 1955, 9, 100.
11. А. Г. Истратов, В. Б. Либрович. ПММ, 1966, 30, 3, 451.
12. А. Г. Истратов, В. Б. Либрович. Докл. АН СССР, 1966, 168, 1, 43.
13. В. С. Бабкин, А. В. Вьюн, Л. С. Козаченко. ФГВ, 1967, 3, 3, 362.

О НАЧАЛЬНОЙ СТАДИИ ГОРЕНИЯ ГАЗА В ЗАМКНУТОМ ОБЪЕМЕ

В. С. Бабкин, В. И. Бабушок

Начальная стадия горения газа в замкнутом объеме представляет интерес в связи с широким использованием в различных физико-химических исследованиях пламен — скорости распространения ламинарного пламени, конвективных явлений при горении, структуры фронта пламени, термодинамического состояния продуктов сгорания, пределов воспламенения и др. С другой стороны, сведения о начальной стадии горения необходимы при решении некоторых практических вопросов пожаро- и взрывобезопасности. Ряд способов противовзрывной защиты промышленного оборудования и обслуживающего персонала основан на прекращении уже начавшегося взрыва в его начальной фазе. Например, в методах расчета автоматических систем активного подавления взрывов в промышленных реакторах, сосудах и резервуарах используются данные о динамике взрыва до величины допустимого (безопасного) давления в 1,1—1,5 раза выше начального. При этом одним из условий эффективного действия системы является

$$t_c \leq t_n,$$

где t_c — время срабатывания системы подавления; t_n — «индуктивный» период или время допустимого нарастания давления [1].

Рассмотрим начальный период развития взрыва при воспламенении невозмущенного горючего газа внутри замкнутого сосуда. После воспламенения газа точечным источником ламинарное пламя распространяется сферически — симметрично по направлению к стенкам сосуда. В таком виде оно проходит значительную часть ближайшего до стенки расстояния. При подходе к стенке пламя деформируется, принимая форму стенки, из-за уменьшения видимой скорости пламени до величины нормальной скорости вблизи стенки. В отличие от сферического сосуда в сосуде произвольной формы горение завершается не одновременно по всей поверхности пламени: последними сгорают порции газа, наиболее удаленные от точки воспламенения. С другой стороны, начальные фазы горения в том и другом случае идентичны: пламя сохраняет сферическую форму и распространяется в условиях незначительного повыше-

ния давления. Это обуславливает применимость к начальной стадии горения газа в сосуде произвольной формы уравнений распространения пламени в сферическом сосуде постоянного объема [2].

Кроме обычных предположений теории распространения пламени в сферическом сосуде [2], дополнительно предположим, что пламя находится не слишком близко от стенки сосуда, т. е. радиус пламени мал по сравнению с радиусом пламени, теряющего сферическую форму под влиянием стенки. Тогда для замкнутого сосуда произвольной формы можно написать уравнения постоянства массы газа

$$n + n_u = 1 \quad (1)$$

и объема

$$\omega_b + \omega_u = 1,$$

откуда

$$\omega_b = r^3 = (\sigma + n - 1)/\sigma. \quad (2)$$

Здесь $n = m_b/m_i$, $n_u = m_u/m_i$, $\omega_u = V_u/V_i$, $\omega_b = V_b/V_i$, $\sigma = \rho_u/\rho_i$, $r = r_b/a$, m — масса, V — объем, ρ — плотность, r_b — радиус пламени, $a = (3V_i/4\pi)^{1/3}$ — эффективный радиус сосуда, индексы u , b , i , e относятся соответственно к свежему газу, сгоревшему, начальному и конечному состояниям.

Масса свежего газа, сгорающего на фронте пламени за время dt , равна

$$dn_u = -r^2/a\sigma S_u dt.$$

где S_u — нормальная скорость пламени.

Интегрируя последнее уравнение с учетом (1), для времени нарастания давления до весовой доли продуктов сгорания n имеем

$$t = \frac{a}{3} \int_0^n \frac{dn}{S_u r^2 \sigma}. \quad (3)$$

Этот интеграл в общем виде не выражается через элементарные функции. Найдем его приближенно для начальной стадии горения и в предположении $\gamma_b = \gamma_u$. Для этого выразим входящие под интеграл переменные через текущее давление, воспользовавшись следующими соотношениями: известной формулой Льюиса и Эльбе [3]

$$n = (\pi - 1)/(\pi_e - 1), \quad (4)$$

соотношением между коэффициентом расширения E_i и конечным давлением π_e [2]

$$\gamma_u (E_i - 1) = \pi_e - 1 \quad (5)$$

и законом адиабатического сжатия в виде ряда

$$\sigma = \pi^{1/\gamma_u} = 1 + \frac{1}{\gamma_u} (\pi - 1) + \dots \quad (6)$$

Поскольку давление и температура свежего газа адиабатически изменяются во времени, нормальная скорость пламени не остается постоянной и ее зависимость от этих параметров можно представить в виде

$$S_u = S_{u_i} \pi^{m+n-m/\gamma_u},$$

где $\pi = p/p_i$, $\gamma = c_p/c_v$ — отношение теплоемкостей; p — давление; m и n — температурный и барический показатели степеней.

Таблица 1

m, n, γ_u, φ	π^*								
	1,01	1,02	1,05	1,10	1,20	1,40	1,60	1,80	2,00
$m=0, n=0, \gamma_u=1,2, \varphi=0$	2,80 2,80	3,52 3,52	4,78 4,77	6,02 5,99	7,59 7,51	9,56 9,37	10,9 10,6	12,0 11,6	13,0 12,4
$m=0, n=0, \gamma_u=1,4, \varphi=0$	2,66 2,66	3,35 3,34	4,54 4,53	5,72 5,70	7,21 7,16	9,08 8,96	10,4 10,2	11,4 11,2	12,3 12,0
$m=2,0, n=-0,5, \gamma_u=1,4, \varphi=0$	2,66 2,65	3,35 3,34	4,54 4,53	5,72 5,69	7,21 7,13	9,08 8,90	10,4 10,1	11,4 11,0	12,3 11,8
$m=2,0, n=-0,5, \gamma_u=1,4, \varphi \neq 0$	2,65 2,65	3,34 3,34	4,53 4,53	5,68 5,69	7,10 7,13	8,80 8,90	9,92 10,1	10,7 11,0	11,4 11,8
$m=2,0, n=0, \gamma_u=1,4, \varphi=0$	2,66 2,65	3,35 3,33	4,54 4,50	5,72 5,62	7,21 6,97	9,08 8,53	10,4 9,51	11,4 10,2	12,3 10,8
$m=2,0, n=0, \gamma_u=1,4, \varphi \neq 0$	2,65 2,65	3,33 3,33	4,50 4,50	5,61 5,62	6,92 6,97	8,35 8,53	9,14 9,51	9,59 10,2	9,83 10,8

* Первая строка — расчет при каждом давлении по формуле (8), вторая — расчет на ЭВМ по (3).

После соответствующих подстановок получим

$$\tau = \frac{1}{3} [\gamma_u E_i^2 (E_i - 1)]^{-1/3} \int_1^\pi \frac{d\pi}{\pi^k (\pi - 1)^{2/3}} = \\ = \left[\frac{\pi - 1}{\gamma_u E_i^2 (E_i - 1)} \right]^{1/3} \cdot F \left(\frac{1}{3}, k, \frac{4}{3}, 1 - \pi \right), \quad (7)$$

где $\tau = S_{h_i} t / a$ — относительное время горения; $k = (1/3 + (\gamma_u - 1)m + \gamma_u n) / \gamma_u$, $F(\alpha, \beta, \gamma, z)$ — гипергеометрическая функция Гаусса.

Ограничавая число членов гипергеометрического ряда двумя, имеем

$$\tau = \left[\frac{\pi - 1}{\gamma_u E_i^2 (E_i - 1)} \right]^{1/3} (1 - \varphi), \quad (8)$$

где $\varphi = k(\pi - 1)/4$.

В табл. 1 приведены результаты расчета относительного времени нарастания давления ($\tau \cdot 10^2$) при различных значениях m, n, γ_u и φ . Расчеты проводились по приближенной формуле (8) и с помощью ЭВМ по точной формуле (3). Коэффициент расширения и нормальная скорость пламени при $\pi=1$ принимались равными $E_i=7,6$; $S_{h_i}=40$ см/с.

Из таблицы видно, что при небольших нарастаниях давления ($\pi \leq 1,1$) независимо от значений m, n и γ_u соответствие приближенного и точного расчетов очень хорошее и поправкой φ в формуле (8) можно пренебречь. При относительно больших нарастаниях давления ($\pi \approx 2$) удовлетворительное соответствие расчетов имеет место при нулевых значениях m и n и $\varphi=0$, а при m и n , отличных от нуля, — с учетом φ . В случае $m=2, n=-0,5$, характерном для воздушных смесей углеводородных топлив, соответствие формул (3) и (8) лучше, чем при $m=2, n=0$, характерном для кислородных смесей. Это объясняется частичной взаимной компенсацией влияния давления и температуры на нормальную скорость пламени в процессе адиабатического сжатия свежего газа. Сравнение расчетов при $\gamma_u=1,2$ и $1,4$ показывает существенное влияние величины γ_u на время нарастания давления особенно вблизи $\pi=1$. Это обусловлено тем, что γ_u входит во все члены разложения. Можно

предположить, что такого же порядка будет и погрешность расчета, обусловленная принятым в работе допущением $\gamma_b = \gamma_u$.

Таким образом, во всех случаях зависимость (3) хорошо аппроксимируется формулой (8) до $\pi < 2$. В практических задачах, по-видимому, поправкой φ всегда можно пренебречь, ограничиваясь только первым членом разложения гипергеометрического ряда (7). Коэффициент расширения E_i в (8) при необходимости может быть выражен через экспериментальное (полученное в сферическом сосуде) или расчетное конечное давление взрыва π_e по формуле (5). Связь других параметров свежего газа и продуктов сгорания n, r, σ — со временем нарастания давления легко находится комбинацией формулы (8) с соотношениями (2), (4) и (6).

Формула (8) обладает интересной особенностью: показатели степеней в зависимости нормальной скорости от давления и температуры t и n входят только в поправку φ . Поэтому в тех случаях, когда величиной φ можно пренебречь, зависимость времени от давления имеет простой вид $t \sim (\pi - 1)^{1/3}$ и формулу (8) можно переписать

$$\pi - 1 = \gamma_u E_i^2 (E_i - 1) t^3. \quad (9)$$

На рисунке в логарифмических координатах приведены зависимости прироста давления от времени при горении трех стехиометрических углеводородно-воздушных смесей (1—CH₄; 2—C₃H₈; 3—C₂H₄) на начальном участке в закрытом сферическом сосуде по данным работы [4]. Видно, что все экспериментальные точки хорошо ложатся на прямые линии, соответствующие зависимости $t \sim (\pi - 1)^{0.3}$. Незначительное различие в показателях степеней 0,3 и 0,33 (формула (9)), по-видимому, обусловлено принятым упрощающим допущением $\gamma_b = \gamma_u$.

Вопрос о зависимости давление — время при горении в закрытых сосудах ранее рассматривался в [1, 5]. В [1] применительно к автоматическим системам подавления взрывов предложена формула

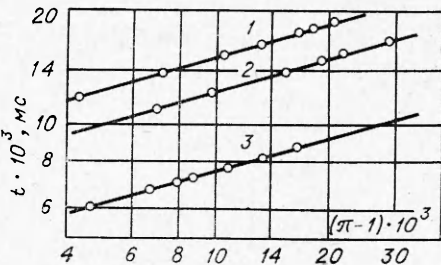
$$t = 0,2 [(p - p_i)/p \cdot V_i]^{1/3}.$$

Она получена для начальной стадии горения парогазовоздушных смесей. Формула не учитывает зависимости t от S_u , E_i и процесса адиабатического сжатия газа. В [5] приведена формула (без вывода) для сферического сосуда

$$p - p_i = K p_i \frac{S_u^3 t^3}{V_i},$$

где K — эмпирическая константа. Автор рекомендует ее для любого момента времени после воспламенения. Но из сравнения с (8) следует, что последняя формула применима только на начальном участке распространения пламени и для смеси заданного состава и состояния.

Другим следствием, вытекающим из особенности формулы (8) при $\varphi = 0$, является возможность ее использования для определения нормальной скорости пламени по записи давления на начальном участке горения. По сравнению с широко распространенным способом определения нормальной скорости по радиусу пламени на начальном участке [6—9] этот способ имеет ряд преимуществ. Он позволяет определять скорость пламени при высоких давлениях, когда затруднена работа с оптическими окнами, а также в случаях, когда затруднены измерения радиуса пламени в непрозрачных газах, слабо или сильно светящихся



пламенах. Упрощенная процедура определения нормальной скорости только по записи давления на начальном участке использовалась в работе [10].

Возвращаясь к принятым в работе предположениям, отметим, что формула (8) применима только к сферическим и ламинарным пламенам, т. е. пламенам средних нормальных скоростей порядка 10—100 см/с. При низких скоростях ($S_n < 10$ см/с) возможны осложняющие эффекты естественной конвекции [11]. При высоких скоростях ($S_n > 100$ см/с) возникает автотурбулизация пламени и образуются волны сжатия [12]. Учет этих факторов представляет весьма сложную задачу.

В работе также предполагается, что пламя распространяется от точки воспламенения с характерной для данной смеси нормальной скоростью. В действительности после быстрого выделения энергии зажигания имеется период формирования пламени, в котором скорость пламени может быть больше или меньше характерной нормальной в зависимости от величины энергии зажигания, кривизны пламени, давления и других факторов. Рассчитать этот период не представляется возможным. При определении нормальной скорости пламени эта трудность может быть преодолена выбором временного интервала, на котором скорость пламени сохраняет постоянное значение. В этом случае она рассчитывается по формуле

$$S_{n_i} = \frac{a}{(t_2 - t_1)} \sqrt[3]{\frac{\gamma_u E_i^2 (E_i - 1)}{(t_2 - t_1)}} \cdot \left(\sqrt[3]{\pi_2 - 1} - \sqrt[3]{\pi_1 - 1} \right). \quad (10)$$

В табл. 2 приведены результаты расчета S_{n_i} по формуле (10) для экспериментальных условий [4]. Для сравнения приведены также осредненные значения S_{n_i} , полученные авторами [4] независимым комбинированным способом по записи радиуса пламени и давления. Видно, что оба метода дают согласующиеся результаты. Однако пренебрежение периодом формирования пламени ($t_1 = 0, \pi_1 = 1$) приводит к заниженным значениям S_{n_i} , по-видимому, из-за низкой нормальной скорости в период формирования, обусловленной отрицательным влиянием кривизны пламени [13].

В итоге рассмотрена задача о динамике нарастания давления в замкнутом сосуде произвольной формы в начальной стадии горения:

Таблица 2

Условия опыта	t_1 , мс	t_2 , мс	π_1	π	S_{n_0} , см/с		
					по (9)	по (10)	[4]
$C_2H_4 +$ воздух, $P_i = 75$ см Hg, $T_i = 27^\circ C$	6,04	8,68	1,0046	1,0163	—	63,8	62,7
$\pi_e = 9,799, \gamma_u = 1,381$	0	8,68	1	1,0163	57,3	—	
$CH_4 +$ воздух, $P_i = 75$ см Hg, $T_i = 27^\circ C$	11,08	18,6	1,0043	1,0206	—	34,6	36,4
$\pi_e = 9,14, \gamma_u = 1,387$	0	18,6	1	1,0206	31,0	—	
$C_3H_8 +$ воздух, $P_i = 75,02$ см Hg, $T_i = 27^\circ C$	11,07	16,67	1,0069	1,029	—	40,4	40,5
$\pi_e = 9,763, \gamma_u = 1,367$	0	16,67	1	1,029	34,8	—	

Получены и обоснованы приближенные временные соотношения для параметров свежего газа и продуктов сгорания. Обсуждены возможные приложения результатов работы.

Институт химической кинетики
и горения СО АН СССР,
Новосибирск

Поступила в редакцию
15/X 1975

ЛИТЕРАТУРА

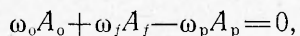
1. И. М. Абдурагимов. ЖВХО им. Д. И. Менделеева, 1974, **19**, 5.
2. В. С. Бабкин, Ю. Г. Конопенко. ФГВ, 1967, **3**, 2.
3. B. Lewis and G. von Elbe. Combustion, Flames and Explosions of Gases, N. Y.—London, Acad. Press INC, 1961.
4. Дж. Мэнтон, Г. Эльбе и Б. Льюис. IV симпозиум (международный) по вопросам горения и детонационных волн. М., Оборонгиз, 1958.
5. M. G. Zabetakis. Flammability characteristics of combustible gases and vapors. Bulletin 627, Bureau of Mines, 1965.
6. А. И. Розловский. ЖФХ, 1956, **30**, 4.
7. J. T. Agnew, L. B. Graif. Combustion and Flame, 1961, **5**, 3.
8. В. С. Бабкин, Л. С. Козаченко, И. Л. Кузнецов. ПМТФ, 1964, 3.
9. В. С. Бабкин, А. В. Вьюн, Л. С. Козаченко. ФГВ, 1966, **2**, 2.
10. А. Н. Баратов, Ф. А. Карагулов, В. И. Макеев. ФГВ, 1970, **6**, 1.
11. L. A. Lovachev, V. S. Babkin. Combustion and Flame, 1973, **20**, 2.
12. К. И. Щелкин, Я. К. Трошин. Газодинамика горения. М., Издательство АН СССР, 1963.
13. В. С. Бабкин, И. Л. Кузнецов, Л. С. Козаченко. Докл. АН СССР, 1962, **146**, 3.

О РОЛИ СТЕФАНОВСКОГО ПОТОКА ПРИ ГЕТЕРОГЕННОМ ВОСПЛАМЕНЕНИИ СИСТЕМЫ ДВУХ ПОЛУБЕСКОНЕЧНЫХ СРЕД ГОРЮЧЕГО И ОКИСЛИТЕЛЯ

B. I. Розенбанд, T. M. Мартемьянова

Задача о гетерогенном воспламенении системы двух полубесконечных сред окислителя и горючего, на поверхности раздела которых идет экзотермическая химическая реакция, рассматривалась в ряде работ [1—6]. Обычно система уравнений, описывающих этот процесс, сводилась к одному нелинейному интегральному уравнению, определяющему связь температуры поверхности со временем, которое решалось либо численно [1—3], либо приближенно. Однако во всех случаях, вследствие сложности исходной системы уравнений, рассматривалась упрощенная задача. В частности, не исследовалось влияние на закономерности воспламенения стефановского потока, обусловленного изменением массы газа у поверхности, вследствие участия в реакции конденсированного горючего вещества.

Рассмотрим протекание процесса гетерогенного воспламенения системы двух полубесконечных сред конденсированного горючего ($x < 0$) и газообразного окислителя ($x > 0$), на поверхности раздела которых идет экзотермическая химическая реакция



где o , f , p — индексы окислителя, горючего и продуктов реакции соответственно (продукты реакции считаем газообразными). Подобная реакция может иметь место при окислении графита, термоокислительной деструкции полимеров, в некоторых процессах типа получения карбонила никеля и т. д.